

УДК: 535.241.5

**Є. Є. Антонов**

Інститут проблем реєстрації інформації НАН України  
вул. М. Шпака, 2, 03113 Київ, Україна

## **Роздільна здатність і призматична дія мікропризмових елементів Френеля**

*Розглянуто методи вимірювання гостроти зору та роздільної здатності тестових таблиць в офтальмології та фізиці. Створено експериментальний стенд для вимірювання роздільної здатності зображень з використанням штрихових мір. Досліджено залежність роздільної здатності зображень, що формуються за допомогою мікропризмових елементів Френеля, від величини призматичної дії таких елементів. Запропоновано алгоритм визначення гостроти зору за роздільною здатністю тестових зображень.*

**Ключові слова:** мікропризмовий елемент, тестова штрихова міра, гострота зору, кут заломлення, коефіцієнт відбиття, дифракція світла, хроматизм.

Однією з найважливіших характеристик мікропризмових елементів Френеля є роздільна здатність зображень, що формуються за їхньою допомогою. При використанні таких елементів у офтальмології це особливо важливо, тому що роздільна здатність визначає гостроту зору, яку виявляє пацієнт при обстеженнях, а від правильного визначення гостроти залежить відповідне лікування захворювань органу зору.

Гострота зору залежить від багатьох факторів: оптичної якості матеріалу мікропризм, дефектів всередині та на поверхні, внутрішніх напружень, що призводять до локальних змін показника заломлення матеріалу. Існують також суттєві фізичні фактори: дифракція на мікрорельєфі та хроматичні ефекти внаслідок дисперсії білого світла.

Вплив хроматизму та дифракції на роздільну здатність зображень було детально розглянуто в роботі [1]. Визначено що такий вплив може бути досить значним для мікропризм з призматичною дією  $PD \geq 20-30$  призмових діоптрій ( $\Delta$ ). На рис. 1. наведено приклад розрахунків хроматичних явищ для мікропризми  $PD = 30\Delta$  (а) та залежність величини зони хроматизму (б) для променів з довжиною хвилі  $7650-4050 \text{ } \lambda$  від величини призматичної дії  $\Delta$  за даними [1].

© Є. Є. Антонов

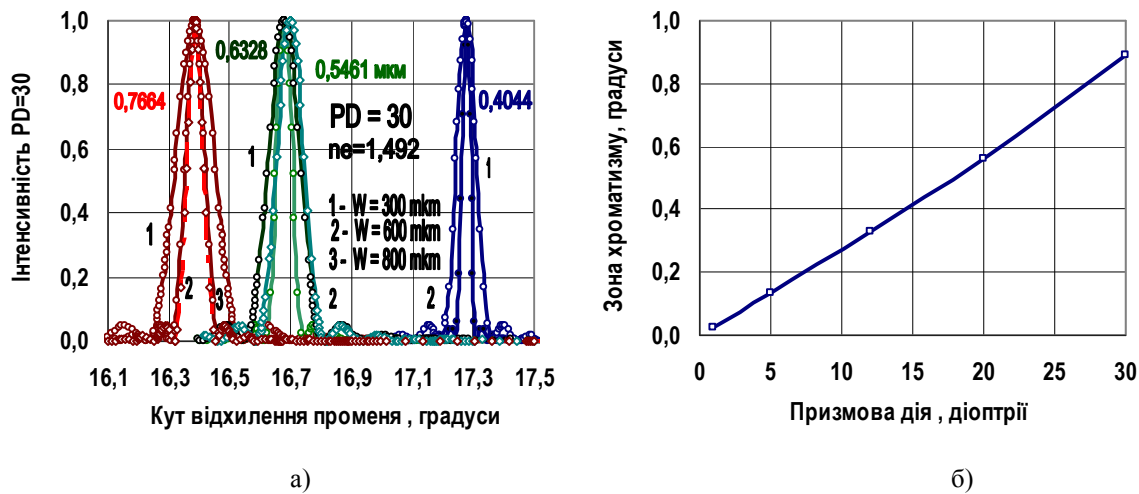


Рис. 1. Приклад розрахунків хроматичних явищ для призми  $PD = 30\Delta$  (а) та залежність величини зони хроматизму від величини призматичної дії (б)

Для зменшення впливу хроматичних ефектів у роботі [1] було запропоновано декілька методів, а саме: 1) використання кольорових світлофільтрів; 2) рефракційно-дифракційні гратки; 3) використання для виготовлення мікропризм оптичних матеріалів з великим числом Аббе:

$$K_{AB} = (n_D - 1)/(n_F - n_C) * 100, \quad (1)$$

де  $n_D$  — коефіцієнт заломлення для зеленої зони спектра;  $n_F$  — коефіцієнт для синьої зони;  $n_C$  — коефіцієнт для червоної зони. Найчастіше для виготовлення елементів використовується поліметилметакрилат ( $K_{AB} = 58$ ) та пластик CR-39 ( $K_A = 58$ ), у той час як для полікарбонату коефіцієнт Аббе  $K_{AB} = 32$ , для полістиролу —  $K_{AB} = 30$ , для матеріалу CAN значення  $K_{AB} = 36$  [2].

Метою роботи є детальні дослідження впливу величини призматичної дії мікропризмових елементів Френеля на роздільну здатність зображень, що формуються за допомогою таких елементів..

## Вимірювання гостроти зору в офтальмології

В офтальмології широко використовується поняття гостроти зору  $V$ , що визначається величиною мінімального кута розрізnenня ока або мінімальною відстанню між двома точками образу, за якою точки образу сприймаються оком пацієнта окремо (minimum separabile) [3]. Фактично це є роздільна здатність образу. Однак на практиці найчастіше використовують здатність органа зору розрізняти дрібні елементи образу (minimum visible). Для визначення цієї величини в офтальмології використовують спеціальні тестові таблиці з певними знаками стандартних розмірів, так званими оптотипами (літерами алфавіту, певними символами, кільцями або фігурами).

Існують різні системи побудови таких таблиць. У країнах СНГ найчастіше використовуються відомі таблиці Сивцева-Головіна [4], які створені за принципом десятинної арифметичної прогресії, при цьому гостроті нормального зору  $V_C = 1,0$  відповідають літери або кільця, які видно під кутом  $\gamma = 5'$  кутових хвилин ( $5'$ ), а їхні дрібні деталі — під кутом  $\gamma = 1'$  з відстані  $d = 5$  м. Це відповідає можливості індивідуального розділити на цій таблиці, наприклад, два штрихи літери «Ш», відстань між якими становить  $1'$ , або в лінійних одиницях — 1,4441 мм. Висота літер, які відповідають значенню  $V_C = 1,0$ , становлять  $H \sim 7,25$  мм, відповідні розміри всіх букв або кілець у відповідних строках таблиці для інших значень гостроти зору  $V_C$  визначаються як  $H = G/V$ .

Існує й інша таблиця для відстані 5 м, розроблена Монуайе за принципом арифметичної прогресії. Таке значення вибране тому, що для людського ока при еметропії нескінченість починається саме на цій відстані, і при розташуванні предмета не більше 5 метрів на сітківці ока збираються практично паралельні промені. Зазвичай діагностика гостроти зору  $V_C$  починається з визначення верхньої строки таблиці, яку пацієнт чітко бачить з відстані 5 м, при цьому дослідження проводять для кожного ока окремо: спочатку визначають гостроту зору правого ( $OD$ ), потім лівого ( $OS$ ).

В англомовних країнах широко використовуються таблиця, яка вперше була розроблена за принципом «minimum visibile» Г. Снелленом [4]. У таблиці Снеллена кожна літера спостерігається під кутом 5 кутових хвилин ( $5'$ ), а її мінімальні деталі — під кутом  $1''$  для певної відповідної відстані  $d$ . Гострота зору визначається у вигляді дробу  $V_S = d/D$ , де в чисельнику стоїть відстань  $d$ , з якої розглядається таблиця (зазвичай 20 футів  $\sim 6,1$  м), а в знаменнику — відстань  $D$ , з якої пацієнт з гостротою зору  $V_S = 1,0$  повинен розрізняти деталі літер певного рядка таблиці під кутом  $\gamma = 1'$ . Для метричних таблиць Снеллена всі відстані вимірюються в метрах, у цьому випадку  $d = 6$  м, і значенню  $V_S = 20/20$  відповідає величина  $V_S = 6/6$ . Переход від дробів Снеллена до десятинних дробів Сивцева-Головіна здійснюється простим діленням чисельника на знаменник, тобто гостроті зору  $V_S = 20/20$  або  $V_S = 6/6$  відповідає величина  $V_C = 1,0$ , а наприклад, значенню  $V_S = 20/200$  дорівнює  $V_C = 0,1$ .

Існують і таблиці, що побудовані за принципом геометричної прогресії, які вважаються найбільш точними для визначення гостроти зору для  $V_C \leq 0,5$ . Однак відзначимо, що для всіх цих різних таблиць є одна спільна риса — знаки рядка, які відповідають гостроті зору  $V_C = 1,0$  і спостерігаються оком під кутом 1 кутова хвилина. Такому куту спостереження відповідає зображення тестових знаків на задній поверхні сітчатки ока розміром  $D_E \approx 10$  мкм.

Іншою важливою характеристикою для визначення гостроти зору є контрастність  $K_A$  зображень на тестових таблицях, яка вимірюється наступним чином [5]:

$$K_A = (I_F - I_A)/I_F * 100 \%, \quad (2)$$

де  $I_F$  — інтенсивність фону таблиці, а  $I_A$  — інтенсивність певного оптотипу. Значення  $K_A$  залежить від яскравості таблиці  $F_T$ . Встановлено, що  $F_T$  повинна становити не менш ніж 160 кд/м<sup>2</sup>, що відповідає освітленості 150–300 лк [4, 5], яка залежить від коефіцієнта відбиття світла від фона таблиці. Вважається, що наступне

збільшення значення  $F_T$  не впливає на величину контрастності зображення та на гостроту зору. Стандартне значення контрастності тестових таблиць  $K_A$  становить 95–97 %.

Відзначимо, що в усіх випадках на практиці визначається не мінімальний кут розрізnenня зорового образу, а вимірюється в умовних одиницях досить абстрактна величина гостроти зору  $V$ , причому виключно суб'єктивним способом через тестові таблиці на основі опитувань вражень пацієнтів. При цьому результати таких опитувань залежать від багатьох чинників, перш за все, освітленості таблиць, контрастності літер на загальному фоні, часу розглядання оптотипів, фізичного стану і навіть індивідуальних особливостей пацієнтів, тому що діаметр колбочок на очному дні у різних людей різний, і чим менший цей діаметр, тим гострота зору краще. Таким чином, процедура визначення гостроти зору в офтальмології досить консервативна і за своєю суттю суб'єктивна

Використання для корекції зору окулярів з лінзами та мікропризмовими елементами також впливає на гостроту зору пацієнтів, тому що, перш за все, змінюється освітленість зорового образу внаслідок відбиття частини світла від поверхні лінз окулярів.

Певно, першим послідовним дослідженням проблеми визначення гостроти зору в офтальмології при використанні мікропризм Френеля залежно від величини їхньої призматичної дії є робота Сюзанни Вероні-Тротман [6] з Нью-Йоркського Медичного університету. Автор [6] досліджувала роздільну здатність звичайних скляних призм, так званих «вафельних» жорстких призм з акрилу, та гнучких мембраних мікропризм з полівінілхлориду силою 5Δ, 8Δ, 10Δ, 12Δ, 15Δ, 20Δ, 25Δ та 30Δ методом клінічного обстеження 25-ти пацієнтів віком від 6-ти до 39-ти років, які мали гостроту зору  $V_S = 20/20$  за тестовою таблицею Снеллена з корекцією та без корекції зору. Пацієнти у випадковому порядку коментували ефект призм, результати аналізувалися незалежними експертами та оброблялися біостатистиком [6].

Відома таблиця зниження гостроти зору Л.К. Дембського [7] з Кримського центру реабілітації зору, який аналогічним традиційним методом обстеження пацієнтів визначив зниження гостроти зору при використанні перших експериментальних зразків мікропризм Френеля, виготовлених у 2007–2008 рр. в Інституті проблем реєстрації інформації НАН України. Деякі з результатів вимірювань Л.К. Дембського наведено в таблиці.

Призмові діоптрії, Δ	Зниження гостроти зору, %
5	10
7	10
10	20
15	40
20	50
25	60
30	70

Аналогічні дослідження заниження гостроти зору  $V_C$  при використанні мікрапризм традиційним методом призмової страбометрії з тестовими таблицями виконувала М.В. Шевколенко [8] з Центру мікрохірургії ока (м. Київ). Заниження гостроти зору з призмою 30Δ становило 0,3–0,6 при гостроті зору  $V_C = 0,8$ –1,0. При цьому призми більше впливали на гостроту зору з великими значеннями  $V_C$ . Призми силою від 1,0Δ до 10,0Δ практично не впливали на величину  $V_C$ .

В останні роки С.К. Дем'янченко з колегами [9] роздільну здатність інтраокулярних лінз (ІОЛ) вивчали шляхом спостереження на мікроскопі зображень тестового об'єкта, так званої штрихової міри [10] через досліджувані лінзи. Роздільна здатність ІОЛ визначалась через найменші штрихи міри, які були чітко видимі через випробувану лінзу. Однак автори не навели кількісних характеристик роздільної здатності лінз і введеного ними поняття «чіткої видимості» [9], а знову визначили лише якісно кращі та гірші зразки лінз.

### Фізичні основи вимірювання роздільної здатності

Спробуємо звести суб'єктивні поняття «гостроти зору» та «чіткої видимості» до яких-то певних фізичних величин і навести кількісні критерії оцінки роздільної здатності мікропризмових елементів.

У фізиці роздільна здатність оптичної системи або зображення визначається кількістю штрихів на міліметр зображення об'єкта або зорового образу. Роздільна здатність оптичних приладів принципово обмежена дифракцією на об'єктиві: видимі точки фактично є дифракційними плямами. Дві сусідні точки є розділеними, якщо мінімум інтенсивності між ними достатній, щоб його можна було розгледіти. Було введено емпіричний критерій розділення Релея [11], який визначає відповідну мінімальну кутову відстань між точками:

$$\sin \theta = 1,22 (\lambda/D), \quad (3)$$

де  $\theta$  — кутова роздільна здатність (мінімальна кутова відстань);  $\lambda$  — довжина хвилі;  $D$  — діаметр вхідної апертури оптичної системи (найчастіше він збігається з діаметром об'єктива).

Аналогічний критерій існує і для оптичних пристрій з нанесеним рельєфом, наприклад, дифракційних граток, або для оптичних зображень, а також для розрізнення ліній у спектрі. Аналогічно (3) дві близькі спектральні лінії вважаються розділеними, якщо максимум однієї лінії співпадає з мінімумом іншої лінії. Величина провалу між лініями в цьому випадку для Гаусової форми ліній [11] становить приблизно 0,20 від максимуму, тобто визначена згідно (2) контрастність розділених ліній у спектрі  $K_A \approx 20\%$ .

Експериментальне визначення роздільної здатності оптичних систем зазвичай проводиться шляхом фотографування спеціального тестового об'єкта — міри [10]. При цьому для визначення впливу на роздільну здатність кожного певного параметра вимірювання проводять в умовах, коли похиби від решти параметрів істотно малі.

У нашому випадку для визначення впливу мікропризм на гостроту зору, будемо використовувати зображення на екрані різних елементів такого штрихового

тестового об'єкта. Зміни роздільної здатності зображень можна за певних умов ототожнити з гостротою зору. Погіршення роздільної здатності зображень внаслідок використання мікропризм будемо визначати відповідними змінами кутів спостереження  $\gamma$ , при цьому відносну роздільну здатність будемо визначати через кутові розміри відповідних штрихових елементів, які відповідають критерію (3) роздільної здатності ліній Релея [11].

### **Стенд для експериментального дослідження роздільної здатності**

На основі проведених розрахунків оптичної системи було створено спеціальний стенд для вимірювань роздільної здатності тестових зображень (рис. 2). Особливу увагу було приділено максимальній ідентичності оптичних параметрів стенда умовам традиційних з використанням тестових офтальмологічних таблиць досліджень гостроти зору.

Джерелом випромінювання була лампа розжарювання типу А з температурою яскравості  $T_a = 2754^{\circ}\text{C}$ , яка використовується при традиційних спектроскопічних вимірюваннях. Для формування на екрані тестових штрихів, аналогічних зображенням літери «Ш» з офтальмологічних таблиць, використовувалися тестові міри №№ 2–5 [10]. Зображення штрихів формувалося на екрані за допомогою прецизійного проекційного об'єктива ЛОМО з фокусом  $F = 90$  мм. Кут зображення становив 1,5 кутові хвилини, що відповідає кутам спостереження тестових таблиць.

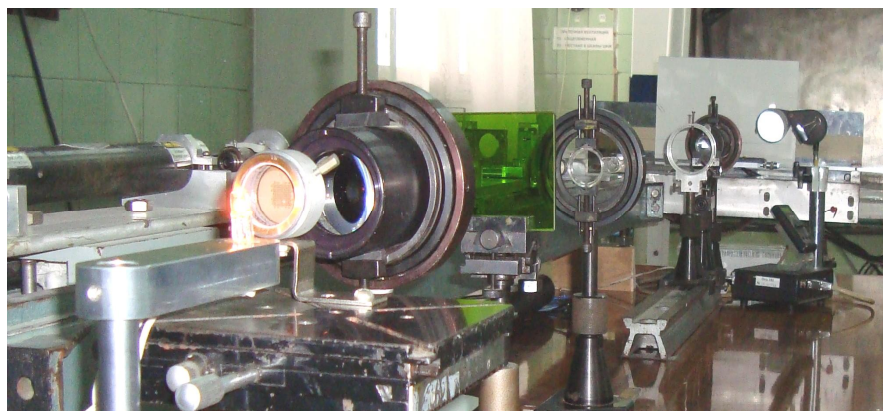


Рис. 2. Загальний вигляд експериментального стендадля досліджень роздільної здатності зображень

Приймачем випромінювання було обрано кремнієвий фотодіод ФД288А з прецизійною щілинною діафрагмою шириною  $B = 450$  мкм, який може переміщуватися вздовж зображення на екрані та дозволяє здійснювати його лінійне сканування з точністю позиціонування  $\pm 10$  мкм. Для юстирування оптичної системи та визначення необхідного положення мікропризмових елементів використовувався напівпровідниковий лазер з довжиною хвилі  $\lambda = 530$  нм.

Проблемою при вимірюваннях роздільної здатності зображень є істотна різниця у спектральній чутливості людського ока (СХО) та світлової ефективності

фотоприймача ФД288, тобто людське око бачить зовсім іншу картину, ніж фотоприймач. Зображення для різних довжин хвиль розмиваються та перекриваються внаслідок хроматизму білого світла. Людське око розрізнює їх, оскільки вони мають різний колір, у той час як фотоприймач реєструє різноцольорові зображення як однакові, лише з різною спектральною чутливістю. Для ілюстрації цього на рис. 3, а наведено зображення тестового об'єкта через мікропризму силою  $PD = 20\Delta$  на поверхні фотодіода, а на рис. 3, б — сканування цього самого зображення щілиною фотодіода: темний фон і зображення штрихів тестового об'єкта фотодіод реєструє досить впевнено, але кольорове червоно-синє зображення фону відображається єдиним загальним піком інтенсивності.

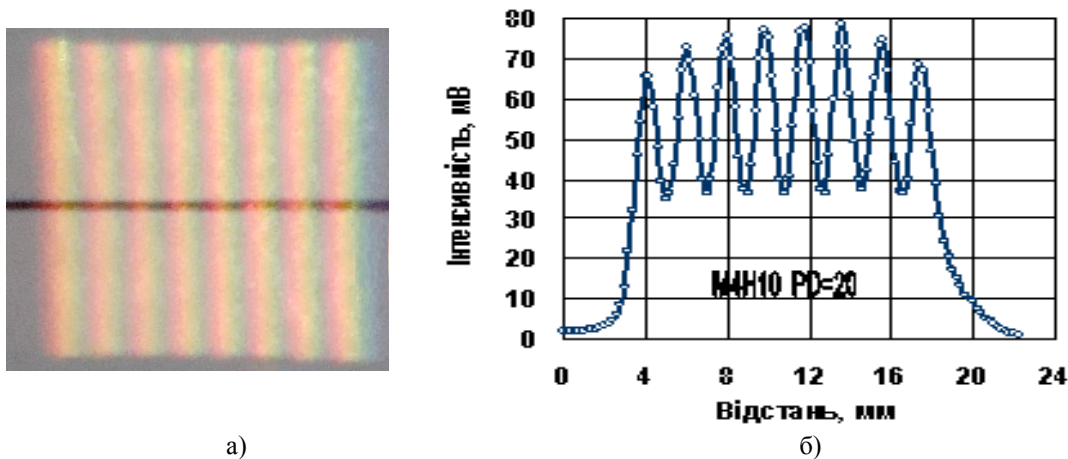


Рис. 3. Зображення тестового елемента М4Н10 через мікропризму  $PD = 20\Delta$  на фотодіоді (а) та сканування цього зображення щілиною (б)

Спектральні характеристики ока людини та фотодіода наведено на рис. 4: фотодіод ФД288А має максимальну чутливість в далекій червоній частині видимого спектру (рис. 4, ФД288), у той час як максимум чутливості ока людини лежить в зеленій області  $\lambda \sim 555$  нм (рис. 4, СХО).

Для адаптації спектральної характеристики фотоприймача до кривої чутливості людського ока в разі освітлення об'єкта джерелом типу А найчастіше використовується комбінація кольорових світлофільтрів ЗС8 та ЖЗС18 певних товщин [11]. Характеристики цих фільтрів також наведено на рис. 4. Зазначені світлофільтри мають значний коефіцієнт поглинання за межами області пропускання, є неселективними і мають малий коефіцієнт поглинання в робочій спектральній області. За допомогою обраних світлофільтрів можливе виділення необхідного спектрального діапазону. Однак використання такої комбінації світлофільтрів майже на порядок величини зменшує загальну інтенсивність сигналів, що реєструються, і виникають проблеми реєстрування слабких світлових потоків на рівні шумів, що найчастіше і мало місце в експериментальних дослідженнях. Тому, перш за все, було вжито заходів для істотного зменшення світлових шумів і засвіток від сторонніх джерел шляхом використання відповідних діафрагм та антиблікових блендів.

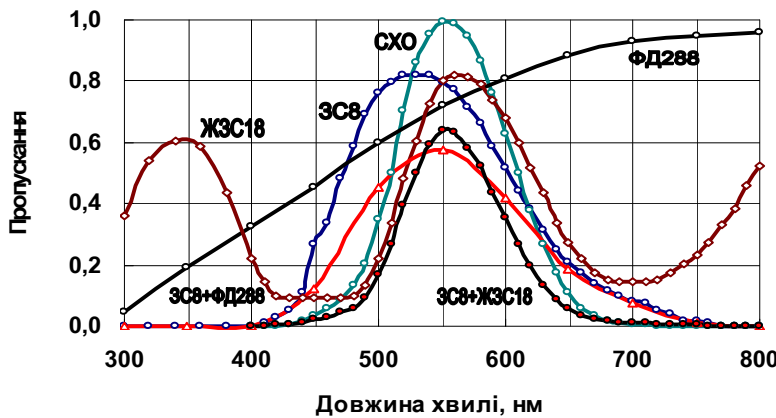
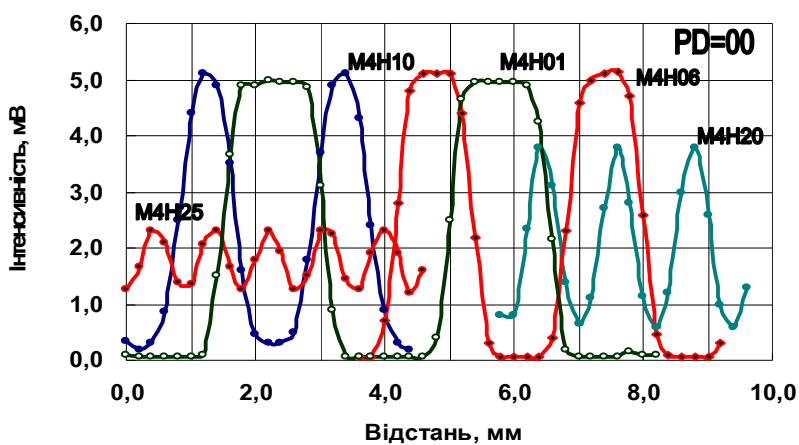


Рис. 4. Спектральні характеристики деяких оптических пристройв

У результаті проведених пробних експериментів для адаптації спектральних характеристик ока людини та фотоприймача було використано комбінацію фільтрів ЗС8+ЖЗС18, які хоч і істотно знижують світловий потік, але найбільш точно відтворюють спектральну чутливість людського ока (рис. 4).

Можливості створеного експериментального стенда ілюструють дані на рис. 5, де наведено розподіл інтенсивності зображень різних елементів тестової міри № 4 (M4) на екрані для елемента призматичною дією  $PD = 0,0$ , що розміщувався на відстані  $L = 36$  см від екрану. З отриманих калібрувальних даних для зазначененої оптичної схеми можна визначити два важливих параметри стенда, які необхідні для подальших досліджень: контрастність зображення на екрані  $K_A$  та апаратну функцію установки  $R_{A0}$ , за яку будемо вважати отриману мінімальну кутову відстань між штрихами в зображенні елементів міри на екрані.

Рис. 5. Типова картина розподілу інтенсивності в зображеннях деяких елементів тестового об'єкта M4 на екрані для  $PD = 0,0$ 

Першу із зазначених величин  $K_A$  формально можна визначити аналогічно (2), де  $I_F$  — інтенсивність фону зображення, а  $I_A$  — інтенсивність зображення елемента тестової міри на екрані, а точніше, на щілині. Графік залежності величини  $K_A$

від номеру елемента тестової міри наведено на рис. 6. Реальне значення  $K_A$ , що відповідає досить великим розмірам зображення на екрані або великим кутам спостереження (тестові елементи M4H10-M4H01), становить близько 98 %, що повністю відповідає вимогам [5] до характеристик тестових офтальмологічних таблиць.

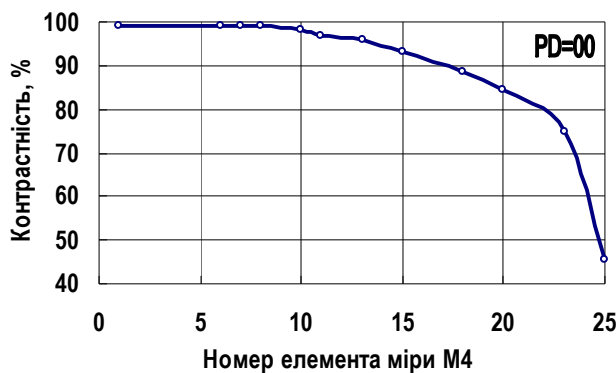


Рис. 6. Контрастність  $K_A$  зображень елементів тестової міри M4 для  $PD = 0,0$

Зі зменшенням розмірів елементів тестової міри контрастність зображення на екрані, що визначена згідно (2), падає. Це пов'язано з розширенням зображення на екрані внаслідок впливу дефектів оптики та хроматично-дифракційних явищ, а не зі зміною реальної контрастності зображень. Математично процедура визначення зміни роздільної здатності зображень подібна вимірюванню їхньої контрастності, але в першому випадку вираз (2) використовується для фактичного порівняння інтенсивності чорного та білого кольорів штрихів різних елементів тестової міри. У другому ж випадку вираз (2) характеризує ступінь перекриття зображень фону та штрихів внаслідок розмиття зображень. Будемо називати величину цього провалу теж контрастністю, хоча в реальності ця величина характеризує величину перекриття зображень внаслідок різних факторів, перш за все, дифракції на мікрорельєфі та дефектів оптичних поверхонь.

Відповідно до критерію Релея (3) вважатимемо лінії або штрихи на екрані розділеними, якщо провал між двома сусідніми зображеннями становить близько 20 %, яке є мінімальним значенням контрастності  $K_A$ , що необхідно для розділення. Взагалі, порівняння роздільної здатності можна виконувати за будь-якої сталої величини контрастності, більшої за 20 %, наприклад,  $K_A = 40\text{--}70 \%$ , що підвищує точність вимірювань

Апаратна функція установки  $R_{A0}$  в нашому випадку може бути ідентифікована з розміром зображення на екрані пари «штрих-фон» елемента М4Н25 (елемент № 25 міри № 4), яке становить 900 мкм або 1,46 кутових хвилин при контрастності  $K_4 = 60\%$ .

## Результати експериментів з роздільної здатності

Типове зображення тестового об'єкта на щілині ілюструє рис. 7, на якому наведено розподіл інтенсивності тестового об'єкта на екрані для оптичного пласти-

ка марки «Plexiglass XT Rohm Degussa», з якого в останній час ППІ НАН України виготовляє мікропризмові елементи. Зображення (рис. 7,*a*) відповідає заготовці з пластику для виготовлення мікропризмового елемента, а зображення (рис. 7,*b*) — пластику, що пройшов стандартний процес термопресування [1] без формування будь-якого мікропризмового рельєфу.

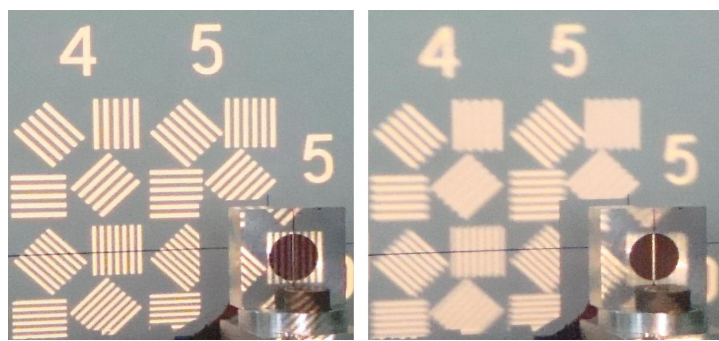


Рис. 7. Розподіл інтенсивності зображення тестової міри М4:  
а) заготовка до термопресування; б) після термопресування

Спостерігається помітне зниження роздільної здатності зображення  $R_A$  після проходження заготовкою процесу термопресування, що можна пояснити появою в матеріалі оптичних дефектів і внутрішніх напружень, які призводять до локальних змін показника заломлення. На рис. 8 наведено результати дослідження розподілу напружень у зазначеному пластику за допомогою полярископа-поляриметра ПКС-250.

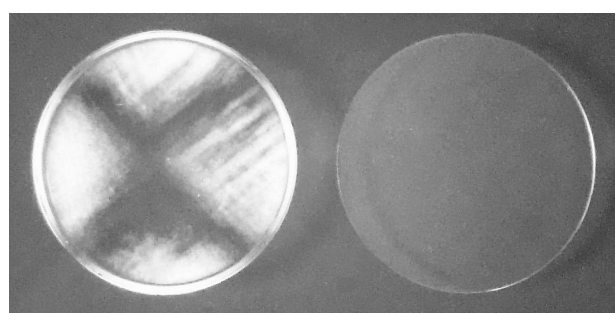


Рис. 8. Оптичні характеристики заготовки з оптичного пластика марки «Plexiglass XT Rohm Degussa» до і після процесу термопресування

Наявність істотно різних оптичних характеристик для досліджуваного матеріалу до і після термопресування свідчить про необхідність оптимізації цього процесу та потребує проведення спеціальних досліджень процесу термопресування з метою мінімізації внутрішніх напружень при виробництві мікропризмових елементів.

Експериментально було отримано аналогічні наведеним на рис. 7 дані щодо розподілу інтенсивності зображень тестових елементів (M4H06-M4H25) на екрані для всіх мікропризм призматичною дією від  $0,5\Delta$  до  $30\Delta$  з діагностичного набору КК-42 (№ 001, дата виготовлення — жовтень 2010 року). Визначена з цього розподілу залежність контрастності зображень  $K_A$  на екрані від розміру зображення наведена на рис. 9, який ілюструє алгоритм визначення роздільної здатності зображень  $R_A$ . Для підвищення точності вимірювань значення  $R_A$  зображень штрихових елементів тестової міри, тобто кутові розміри зображень  $\gamma_A$ , визначалися при значенні контрастності  $K_A \approx 60\%$ . Для мікропризми  $PD = 0,5\Delta$ , для якої хроматичні ефекти практично відсутні і яка тому була обрана еталоном, для  $K_A = 60\%$  відстань між штрихами до екрану  $L = 36$  см. Особлива увага приділялася мікропризмам з великими значеннями призматичної дії, коли спостерігається значне зниження роздільної здатності.

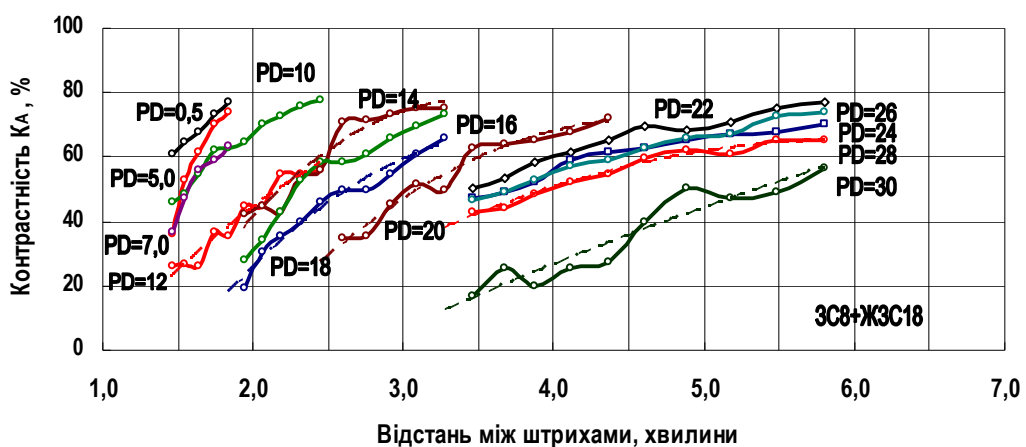


Рис. 9. Контрастність зображення елементів тестової міри M4 для мікропризмових елементів різної призматичної дії з набору № 001

Відносна роздільна здатність певного зображення  $V_A$  для певної мікропризми визначалася величиною відношення кутового розміру зображення еталонного елемента тестової міри  $R_{A0} = 1,46'$ , що відповідає значенню  $K_A = 60\%$  для мікропризми  $PD = 0,5\Delta$ , до кутового розміру відповідного елемента зображення  $R_A$ , який відповідає значенню  $K_A = 60\%$  для досліджуваної мікропризми:

$$V_A = R_{A0} / R_A. \quad (4)$$

З отриманих значень  $R_A$  з використанням (4) легко визначити величину зниження роздільної здатності зображень  $V_A$  для мікропризм різної призматичної дії.

За умови відповідного калібрування отримані значення роздільної здатності  $V_A$  можна ототожнити з гостротою зору  $V_C$ , яку виявляє пацієнт при обстеженнях з тестовими офтальмологічними таблицями.

## Роздільна здатність і гострота зору

Для встановлення співвідношення між роздільною здатністю  $V_A$  зображень тестових штрихових елементів для різних мікропризм та гостротою зору  $V_C$  залежно від величини призматичної дії мікропризм, було проведено спеціальне калібрування стенда. Мікропризма призматичної дією  $PD = 10\Delta$  встановлювалася на різних відстанях  $L$  до екрану і вимірювалася контрастність  $K_A$  зображень різних елементів тестової міри M4. Отримані значення контрастності  $K_A$  наведені на рис. 10. З цих даних при контрастності  $K_A = 60\%$  визначалися кутові розміри  $R_A$  і відповідні відносні роздільні здатності  $V_A = R_{A0}/R_A$  зображень різних елементів тестової міри M4 за умови незмінності усіх інших умов експериментів. Еталонне значення  $R_{A0} = f(L)$  вимірювалося для мікропризми  $PD = 0,5\Delta$ .

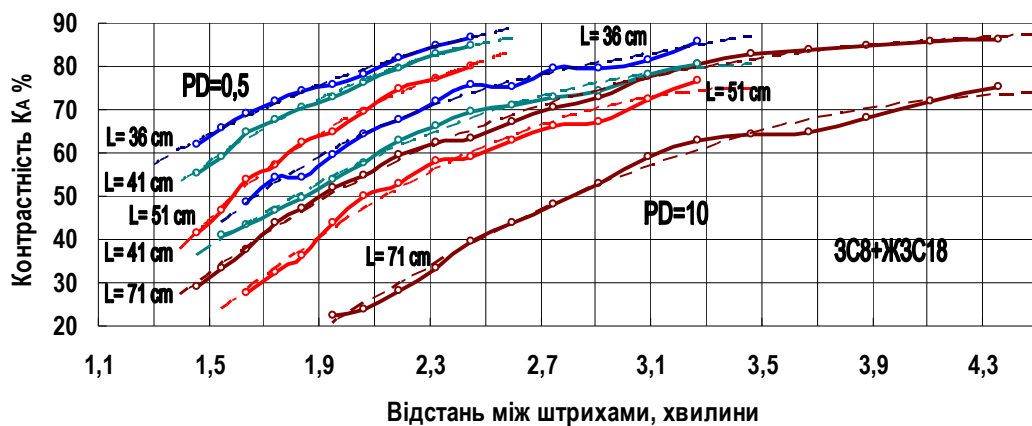


Рис. 10. Контрастність зображення елементів тестової міри M4  
для мікропризми  $PD = 10,0$  для різних відстаней до екрану  $L$

Установлено, що відносна роздільна здатність  $V_A = R_{A0}/R_A$  слабко залежить від точки розміщення мікропризм на оптичній осі стенда, тому що характер залежності величини  $R_A$  від відстані  $L$  практично одинаковий для мікропризм різної призматичної дії.

У той же час величина  $R_A$  помітно зменшується зростом призматичної дії мікропризм. Однак для відстані  $L = 36$  для мікропризм  $PD = (0,0; 0,5; 1,0)\Delta$  значення відносної роздільної здатності  $V_A$  практично однакові, тому всі подальші вимірювання проводилися для сталої значення  $L = 36$ . Звичайно, від відстані до екрану  $L$  залежить величина контрастності зображень. Еталоном для переходу від відносних вимірювань  $V_A$  до абсолютнох значень  $V_C$  було обрано мікропризму  $PD = 0,5\Delta$ , гострота зору для якої вважалася  $V_C = 100\%$ , так як це виявляють пацієнти при традиційних офтальмологічних дослідженнях. Таким чином, будемо вважати, що після калібрування стенда експериментальні дані з відносної роздільної здатності зображень тестових штрихових елементів  $V_A$  дійсно відображають гостроту зору  $V_C$ .

Отримані нами після калібрування стенда значення  $V_A = V_C = R_A/R_{A0}$  наведені на рис. 11 (крива 1). Для порівняння на рис. 11 наведено також дані досліджень

гостроти зору  $V_S$ , виконані Вероні-Тротман [6] (рис. 11, крива 2) та Дембським [7] (рис. 11, крива 3).

Відмітимо, що за вибраного калібрування величина  $V_A$  для мікропризми  $PD = 10\Delta$  становить  $V_A = 74\%$ , що близько до значення  $V_A = 80\%$  з роботи [7], а для  $PD = 15\Delta$  величина  $V_A = 56\%$  (рис. 11, крива 1) практично збігається з даними [6] (рис. 11, крива 2) та [7] (рис. 11, крива 3).

Зі зростанням призматичної дії мікропризм гострота зору  $V_C$  помітно знижується. Наприклад, для мікропризми  $PD = 30\Delta$  зниження становить 74 %, що близько до значення  $V_C = 70\%$ , яке отримав Дембський [7], і практично відповідає результатам Шевколенко [8], яка наводить значення  $\Delta V_C = 60\%$  для призми  $PD = 30\Delta$  при гостроті зору пацієнта  $V_C = 1,0$ . Результати Вероні-Тротман [6] досить суперечливі, враховуючи, що точка  $PD = 20\Delta$  за висновками самої авторки занижена внаслідок низької якості виготовлення цієї мікропризми, а значення  $V_S = 18\%$  для  $PD = 30\Delta$  просто занижене.

Запропонована методика має істотну перевагу в тому, що вимірювання з тестовими штриховими мірами значно точніші порівняно з спостереженнями тестових таблиць і не залежать від суб'єктивних вражень досліджуваних пацієнтів. У той же час, в існуючому сьогодні варіанті вона, мабуть, мало здатна для практичного обстеження пацієнтів у офтальмологічних кабінетах.

Однак методика дозволяє легко проводити поточний контроль виготовлених мікропризмових елементів у різних технологічних режимах або для різних матеріалів з метою вибору оптимальних матеріалів або режимів. Аналіз зображень тестових штрихових мір після проходження променя білого світла через відповідні мікропризми дозволяє отримати важливу інформацію щодо роздільної здатності зображень і оптимізувати процес виготовлення мікропризм.

Питання щодо ототожнювання значень відносної роздільної здатності зображень  $V_A = R_A/R_{A0}$  та гостроти зору  $V_C$  потребує подальших більш детальних досліджень.

## Висновки

У роботі досліджено залежність роздільної здатності зображень, що формуються за допомогою мікропризмових елементів Френеля, від величини призматичної дії таких елементів.

Створено експериментальний стенд для вимірювання роздільної здатності зображень з використанням тестових штрихових мір. Запропоновано алгоритм визначення гостроти зору за роздільною здатністю мікропризмових елементів. Шлях-

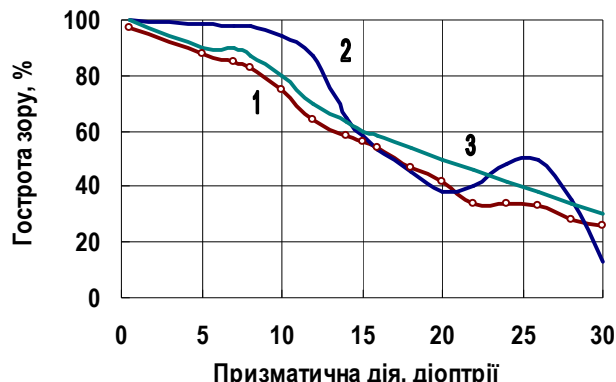


Рис. 11. Гострота зору залежно від призматичної дії мікропризм:  
1 — дані автора; 2 — Вероні-Тротман [6];  
3 — Дембський [7]

хом відповідного калібрування отриманих даних за результатами офтальмологічних традиційних досліджень пацієнтів можна звести отримані відносні дані з розрільної здатності тестових зображень до абсолютних значень гостроти зору.

Визначено оптичну якість мікропризмових елементів з деяких діагностичних наборів і різних діагностичних лінійок, що необхідно для визначення оптимальних технологічних режимів виробництва мікропризмових елементів максимально високої оптичної якості.

1. *Петров В.В.* Хроматизм світла, дифракція та гострота зору в мікропризмових лінзах Френеля / В.В. Петров, С.С. Антонов, С.М. Шанойло // Реєстрація, зберігання і обробка даних. — 2010. — Т. 12, №1. — С. 49–54.
2. *Матвеев А.Н.* Оптика / А.Н. Матвеев. — М.: Высшая школа, 1985. — 381 с.
3. *Жабоедов Г.Д.* Очні хвороби / Г.Д. Жабоедов, М.М. Сергієнко. — К.: Здоров'я, 1999. — 311 с.
4. *Урмакер Л.С.* Оптические средства коррекции зрения / Л.С. Урмакер, Л.И. Айзенштат. — М.: Медицина, 1990. — 256 с.
5. *Лещенко И.А.* О системах и правилах определения остроты зрения / И.А. Лещенко // Вестник оптометрии. — 2009. — № 3. — С. 54–58.
6. *Veronneau-Troutman S.* Fresnel Prisms and Their Effects on Visual Acuity and Binocular Vision / S. Veronneau-Troutman // Trans. Am. Ophthalmol. Soc. — 1978. — Vol. 78. — P. 610–653.
7. *Дембський Л.К.* Сферопризматическая коррекция зрения, как фактор профилактики конвергентной осевой деформации и гипертензии глаза [Електронний ресурс] / Л.К. Дембський. — Режим доступу: <http://www.eyescenter.com.ua/>
8. *Шевколенко М.В.* Діагностика та планування хірургічного лікування співдружньої ізотропії з малими кутами: автореф. дис. на здобуття наук. ступеня канд. мед. наук / М.В. Шевколенко. — Київ, 2011. — 21 с.
9. *Малюгин Б.Э.* Зависимость показателей разрешающей способности интраокулярных линз от качества обработки оптической поверхности и aberrационных свойств / Б.Э. Малюгин, Ю.А. Белый, С.К. Демьянченко // Рефракционная хирургия и офтальмология. — 2010. — № 3. — С. 23–26.
10. *Афанасьев В.А.* Оптические измерения / В.А. Афанасьев. — М.: Недра, 1968. — 255 с.
11. *Борн М.* Основы оптики / М. Борн, Э. Вольф. — М.: Наука, 1973. — 720 с.

Надійшла до редакції 11.04.2013